

## 단자속 양자 AND gate의 시뮬레이션과 Mask Drawing

### Simulation and Mask Drawing of Single Flux Quantum AND gate

정구락\*, 박종혁\*\*, 임해용†, 강준희\*\*\*, 한태상‡

Ku-Rak Jung\*, Jong-Hyeok Park\*\*, Hae-Ryoung Lim†, Joohee Kang\*\*\* and Taek-Sang Hahn‡

**Abstract:** We have simulated and laid out a Single Flux Quantum(SFQ) AND gate for Arithmetic Logic Unit by using XIC, WRspice and Lmeter. SFQ AND gate circuit is a combination of two D Flip-Flop. D Flip-Flop and dc SQUID are the similar shape form the fact that it has the loop inductor and two Josephson junction. We obtained operating margins and accomplished layout of the AND gate. We got the margin of  $\pm 38\%$  over. After layout, we drew mask for fabrication of SFQ AND gate. This mask was included AND gate, dcsfq, sfqdc, rs flip-flop and jtl.

**Key Words:** sfq and gate, dcsfq, sfqdc, rs flip-flop, jtl, Josephson junction

### 1. 서 론

단자속 양자소자는 1970년대 후반부터 연구되어 지고 있는데, 반도체 소자보다 고속성과 저 소모전력의 특징을 가지고 있어, 점점 그 한계성을 드러내는 반도체 소자의 대안으로 주목받고 있다[1]. 초전도를 이용한 단자속 양자소자가 반도체 소자의 자리를 대신할 경우 그 과급효과를 예상하여, 미국[2][3], 일본[4] 그리고 유럽[5]에서는 이에 대한 연구가 활발히 수행되어지고 있다.

본 연구에서는 단자속 양자 소자의 기초 논리회로 중의 하나인 AND gate의 시뮬레이션을 수행하고, 각 parameter에 대해서 pass/fail 방법으로 마진분석을 하였다. 마진 분석을 통하여 최적화된 단자속 양자 AND gate의 parameter 값들과 layout 상태에서 inductor 값을 축출하여 주는 소프트웨어인 Lmeter를 사용하여 얻은 값이 서로 일치하도록 하여 Layout의 신뢰성을 확보하였다. Layout이 완료된 후에는 실제 회로 제작을 위한 mask drawing을 하였다. 설계된 AND gate 만으로는 제작된 소자의 측정을 할 수 없으므로, 설계된 mask에는 pulse generator의 역할을 하는 DCSFQ 회로를 AND gate의 데이터와 출력의 입력단에 연결하였으며, AND gate에서 출력된 결과는 SFQDC회로와 RS Flip-Flop 회로를 이용하여 측정할 수 있도록 하였다. SFQDC 회로에는 하나의 AND gate를 연결하

였으며, RS Flip-Flop에는 2개의 AND gate를 연결하여 각각 AND gate가 set과 reset의 역할을 하도록 하였다. DCSFQ, SFQDC 그리고 RS Flip-Flop과 AND gate의 연결은 Josephson Transmission Line(JTL)을 이용하였다.

### 2. 본 론

#### 2.1. 회로의 시뮬레이션

단자속 양자 AND gate에 대한 회로 구성을 Fig. 1과 같이 구성하였다[1]. 본 연구에 사용된 단자속 양자 필스는 dc/sfq 회로[4]를 사용하여 생성하였으며, 각각의 서로 다른 단자속 양자 필스가 IN1, IN2 그리고 clock에서 AND gate에 입력되도록 하기 위하여 총 3개의 dc/sfq 회로를 사용하였다. 사용된 단자속 양자 필스는 주파수가 10GHz가 되도록 설정하였으며, 단자속 양자 필스의 간격을 줄이기 위하여 단자속 양자 AND gate의 입력과 출력 쪽에 Josephson Transmission Line (JTL)을 삽입하였다. 단자속 양자 AND gate는 두 개의 D Flip-Flop으로 구성되어 있으며, 서로 대칭적인 형태를 띠고 있다.

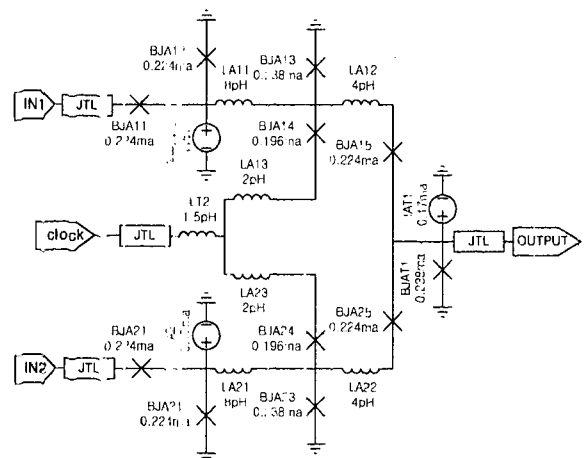


Fig. 1. Circuit Diagram of sfq AND gate

IA11, IA21, IAT1은 각각 BJA12, BJA21, BJAT1에 bias 전류를 공급해주는 것을 나타내며, 이 bias 전류는 junction 임계전류( $I_c$ ) 값의 약 70% 정도를 훌려주어 단자속 양자 필스가 junction에 도달하면 바로 junction이 스위칭이 될 수 있도록 도와주는 역할을 한다. IN1에서 들어온 단자속 양자 필스는 JTL을 거쳐 BJA12에 도달하게 되고, 곧바로 BJA12가 스위칭을

\* 정회원: 한국광기술원 연구원

\*\* 정회원: 한국광기술원 선임연구원

\*\*\* 정회원: 인천대 물리학과 부교수

† 정회원: 한국광기술원 기술총괄부장

원고접수: 2002년 04월 08일

심사완료: 2002년 05월 23일

하게 되어 BJA12-LA11-BJA13의 루프를 통하여 하나의 단자속 양자가 저장되게 된다. 이때 루프 inductor 값이 작으면 단자속 양자는 BJA12-LA11-BJA13의 루프에 저장이 되지 않고 바로 이 루프를 빠져 나가버리게 된다. BJA12-LA11-BJA13의 루프에 저장된 단자속 양자는 단자속 양자 clock 펄스가 BJA13에 도달하게 될 때, BJA12-LA11-BJA13의 루프를 빠져나가게 된다. 이때 빠져 나온 단자속 양자 소자는 BJA15를 스위칭하게 되어 사라져 버리게 된다. 그러나, BJA22-LA21-BJA23의 루프에도 단자속 양자가 저장되어 있었다면, BJA15와 BJA25가 스위칭하기 전에 BJA15와 BJA25를 통해서 들어온 전류가 서로 중첩되어서 BJAT1을 스위칭하게 되어 단자속 양자 펄스가 output을 통하여 나가게 된다.

Fig. 2는 단자속 양자 AND gate의 시뮬레이션 결과를 보여주고 있으며, N1, N2, clock 그리고 output의 단자속 양자 펄스를 나타내고 있다. IN1과 IN2에서 "1"의 단자속 양자 펄스가 clock 주기 안에 단자속 양자 AND gate에 입력이 되면, clock에 의해 output에 "1"의 단자속 양자 펄스가 출력이 되고, IN1과 IN2에서 어느 하나라도 "0"의 단자속 펄스가 입력이 되면 output에 "0"의 단자속 양자가 생기게 되는 것을 나타내고 있다. 이 그래프를 통하여 단자속 양자 회로가 AND gate로서 작동을 잘하고 있음을 알 수 있다.

Fig. 3은 각 parameter들에 대한 마진 분석 결과를 나타내고 있다. 마진 분석은 pass/fail 방법을 이용하였으며, 이는 circuit parameter에 하나씩 값을 대입하여 시뮬레이션을 수행한 결과가 Fig. 2처럼 정상적으로 나오면 pass가 되고 그렇지 않으면 fail로 되는 것을 이용하는 방법이다. 단자속 양자 소자의 시뮬레이션과 마진은 WRspice라는 상용 소프트웨어를 사용하였다. WRspice에는 마진 분석을 할 수 있도록 프로그램이 내장되어 있다. 하지만, 이것은 두 개의 parameter 값만 변화시킬 수 있도록 되어 있어, 각각의 parameter들을 두 개씩 묶어 마진 분석을 하려면 많은 시간이 소요되게 된다. 본 연구에서는 WRspice가 가지고 있는 내부 언어를 사용하여, 마진 분석 프로그램을 만들어 사용하였으며, 마진 분석하는데 소요되는 시간을 단축할 수 있었다. 본 연구에서 사용한 단자속 양자 AND gate의 마진 범위 중에 가장 작은 마진 값을 나타내는 parameter는 BJA13과 BJA23의로서  $-63.0\% \sim +42.0\%$ 의 마진 범위 값을 얻을 수 있었다.

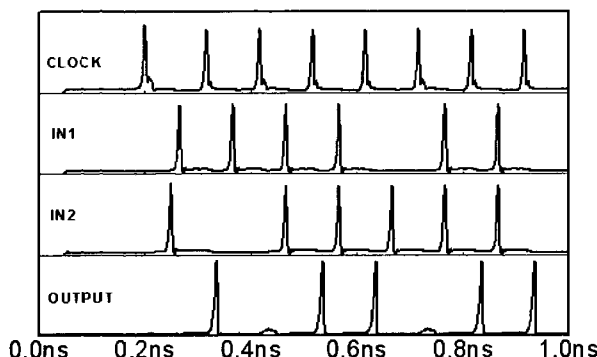


Fig. 2. Simulation result of sfq AND gate

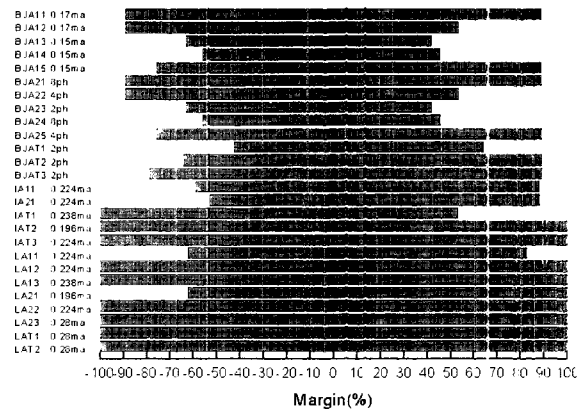


Fig. 3. Margin analysis of sfq AND gate

## 2.2. 회로의 Layout

Fig. 4는 단자속 양자 AND gate의 layout을 보여주고 있다. 본 연구에서 layout은 10-layer process(Fig. 5)를 따랐으며, 임계 전류 밀도( $J_c$ ) 값이  $1000 \text{ A/cm}^2$ 인 Nb 박막을 기초로 Josephson junction의 크기로 정의하였다.  $1000 \text{ A/cm}^2$ 의 전류 밀도를 갖는 Nb박막은  $40 \mu\text{m}^2$ 의 Junction 면적이  $1 \text{ mA}$ 의 임계 전류 값을 갖는다.

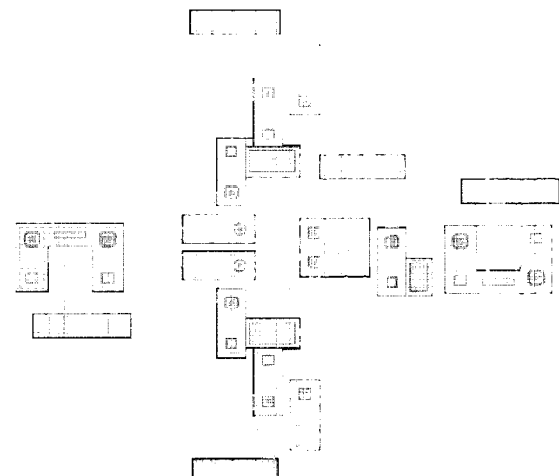


Fig. 4. Layout of sfq AND gate

본 연구에서는 Lmeter를 사용하여 layout 상태에서의 inductor 값을 측정하였다. layout 된 초전도 line의 선 폭과 길이를 조정하면서 Lmeter로 측정한 inductor 값과 마진 분석을 통하여 얻은 최적화된 inductor 값과 같아지도 록 하여 제작된 layout의 신뢰성을 향상시켰다. Fig. 5는 단자속 양자 소자가 제작되었을 때의 소자 단면도를 나타내고 있으며, 본 연구에서 설계한 단자속 양자 AND gate를 제작하기 위해서는 10개의 mask가 필요하다. 총 13개의 layer에 대한 증착 작업과 9번의 에칭 작업 그리고 1번의 lift-off 작업이 수행되어야 비로소 하나의 단자속 양자 소자를 제작할 수 있다. 이러한 공정은 hypres 표준공정으로 단자속 양자 소자 제작에 가장 일반적으로 사용되고 있는 공정이다[6].

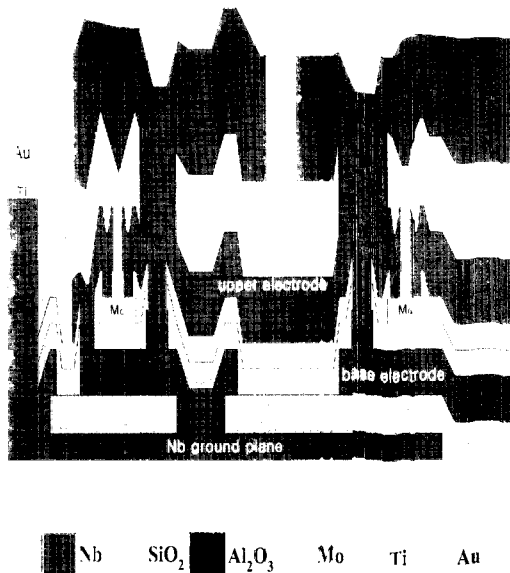


Fig. 5. Fabrication process of sfq device

### 2.3. Mask Layout

Mask layout에는 SFQDC 회로와 RF Flip-Flop회로를 사용하여 단자속 양자 AND gate를 측정할 수 있도록 하였다. 각각의 DCSFQ 회로에도 SFQDC 회로를 연결하여 데이터와 clock에서 SFQ pulse가 출력되는 결과를 볼 수 있도록 하였다.

Fig. 6은 AND gate의 출력단에 SFQDC회로를 연결하여 AND gate에서 출력된 결과값을 오실로스코프를 이용하여 측정할 수 있도록 설계를 하였다. Fig. 7은 Fig. 6의 블록 다이어그램을 나타내고 있다.

SFQDC회로에서는 한 개의 단자속 양자 펄스가 회로에 입력되면 전압이 생성되고, 두 번째 단자속 양자 펄스가 SFQDC회로에 입력되면 전압이 사라지게 되므로 SFQ측정하는데에는 다소 불편하다. 그래서 단자속 양자 AND gate의 출력결과를 RS Flip-Flop 회로로 측정할 수 있도록 RS Flip-Flop회로를 삽입하였다(Fig.8). Fig.9에서 보는바와 같이 두 개의 AND gate를 사용하여 하나는 RS Flip-Flop의 set 펄스로 하고 다른 하나는 reset 펄스로 사용하였다. Fig.10 개의 AND gate 출력값을 같게 하면, 결과값을 "1"과 "0"의 형식으로 결과값을 오실로스코프를 이용하여 측정할 수 있다[Fig. 10].

Fig. 10은 40개의 패드를 사용한 단자속 양자 AND gate를 제작하고 측정할 수 있도록 설계된 Mask이다. 고속 측정을 위하여 그라운드 패드를 각 bias나 신호의 입력 패드 바로 옆에 위치하도록 하였다. Mask에는 Base electrode와 upper electrode의 임계전류 밀도( $J_c$ )값을 측정할 수 있도록 회로에 삽입하였다.

Fig. 6. Layout of AND gate measurement using SFQDC circuit

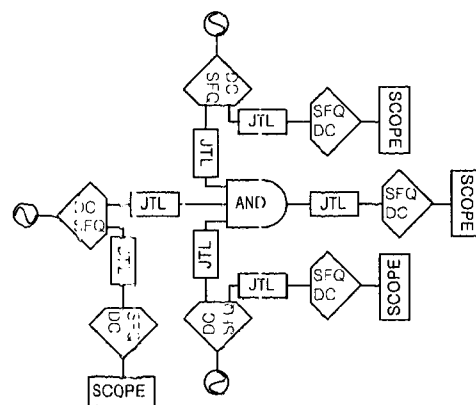


Fig. 7. Block diagram of AND gate measurement using SFQDC circuit

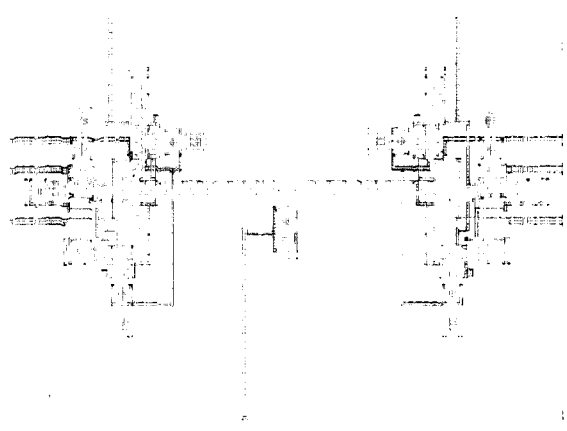


Fig. 8. Layout of AND gate measurement using RS Flip-Flop circuit

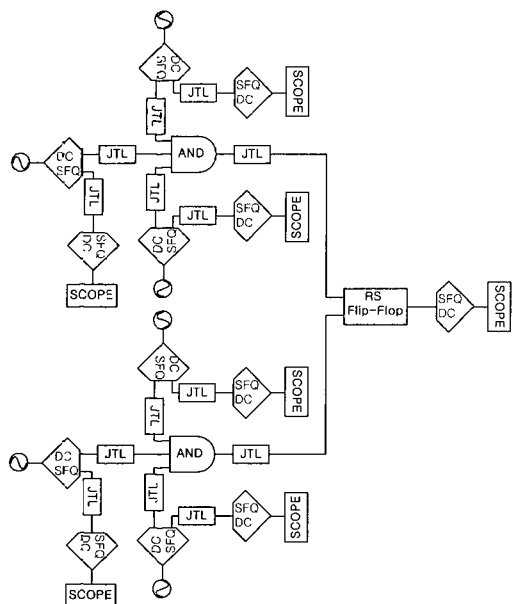


Fig. 9. Block diagram of AND gate measurement using SFQDC circuit

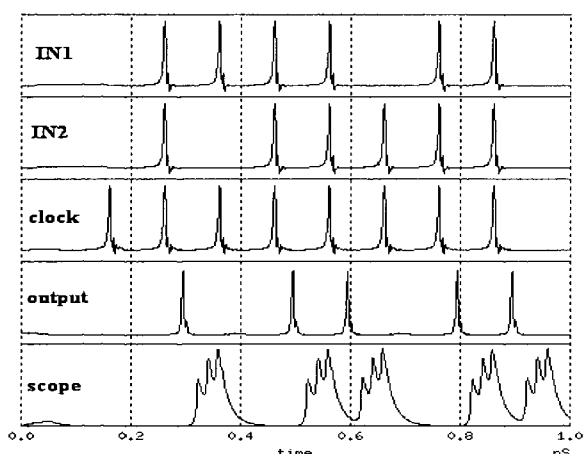


Fig. 10. Measurement simulation of SFQ AND gate using RS Flip-Flop

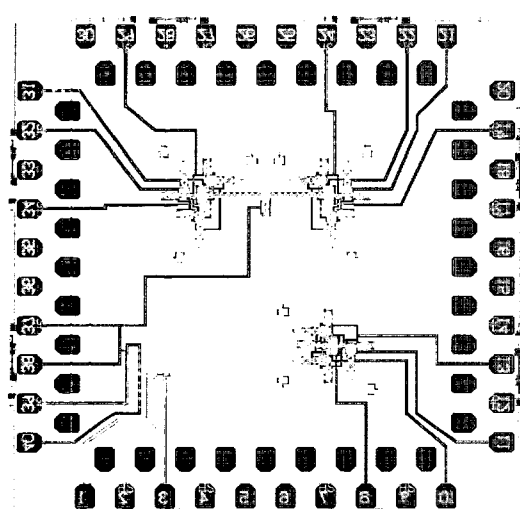


Fig. 10. Mask Drawing of AND gate

#### 4. 결 론

본 연구에서는 초전도 ALU(Arithmetic Logic Unit)의 기본 논리 gate인 단자속 양자 AND gate의 시뮬레이션과 layout을 수행하였으며, 소자를 제작하기 위하여 Mask Drawing을 하였다. 단자속 양자 AND gate를 설계하기 위하여 상용 소프트웨어인 XIC, WRspice를 이용하였으며, layout의 inductor 값은 축출하는데는 Lmeter를 사용하였다. 본 연구에서 설계한 단자속 양자 AND gate의 작동은 Fig. 2에서 보여 주고 있으며, 이 그래프는 단자속 양자 AND gate가 Table 1의 AND gate 진리표를 충실히 따르고 있음을 보여 주고 있다. 설계된 단자속 양자 AND gate의 최소 마진 범위는  $-63.0\% \sim +42.0\%$ 로 만족할 만한 마진 범위를 얻을 수 있었다. Layout은 임계전류밀도( $J_c$ )의 값이  $1000 \text{ A/cm}^2$  인 Nb 박막을 기초로 Josephson junction을 define 하였으며, 10-layer process에 따라 단자속 양자 AND gate의 layout을 하였다. 단자속 AND gate의 작동 결과를 측정하기 위하여 DCSFQ 회로가 AND gate의 출력단에 연결된 것과 RS Flip-Flop이 AND gate의 출력단에 연결된 것의 두 종류의 측정회로를 삽입하였다.

#### 감사의 글

본 연구는 21세기프런티어 연구개발사업인 차세대초전도응용기술개발 사업단의 연구비 지원에 의해 수행되었습니다.

#### 참 고 문 헌

- [1] K. K. Likarev and V. K. Semenov, "RSFQ Logic/Memory Family: A new Josephson-Junction Technology for Sub-Terahertz Clock-Frequency Digital Systems", IEEE Trans. Appl. Supercond., vol. 1, 3-28, 1991
- [2] P. Bunyk and P. Litskevitch, "Case Study in RSFQ design: Fast Pipelined Parallel Adder", IEEE Trans. Appl. Supercond., vol. 9, 3714-3720, 1999
- [3] Alex F. Kirichenko, Saad Sarwana, Oleg A. Mukhanov, Igor V. Vernik, "RSFQ Time Digitizing System", IEEE Trans. Appl. Supercond., vol. 11, 978-981, 2001
- [4] Shuichi Nagasawa, Hideaki Numata, Yoshihito Hashimoto and Shuichi Tahara, "High-frequency Clock Operation of Josephson 256-word x 16-bit RAMs", IEEE Trans. Appl. Supercond., vol. 9, 3708-3713, 1999
- [5] Pascal Febvre, Jean-Claude Berthet, David Ney, Agnes Roussy, Jun Wu Tao, Gilbert Angenieux, "On-Chip High-

Frequency Diagnostic of RSFQ Logic Cells".  
IEEE Trans. Appl. Supercond., vol. 11.  
284-287, 2001

[6] <http://www.hypres.com/pages/download/designrules/rules.htm>



임해용

1969년 02월 25일생, 1994년 영남대 물리학 박사, 1997년~2001년 표준파학연구원 위촉연구원, 2001년~현재 한국광기술원 연구원

### 저 자 소 개



정구락

1971년 07월 14일생, 2000년 인천대 물리학과 졸업(이학석사), 2001년 한국과학기술연구원 위촉연구원, 2001년~현재 한국광기술원 연구원



박종혁

1962년 02월 19일생, 1998년 서울대 물리학 박사, 1998년~2001년 한국과학기술연구원 선임연구원, 2001년~현재 한국광기술원 선임연구원



강준희

1955년 02월 05일생, 1987년 미네소타 대학 물리학 박사, 1987년~1989년 Argonne National Lab. 연구원, 1989년~1994년 Westing House 선임연구원, 1994년~현재 인천대학교 물리학과 부교수



한태상

1952년 06월 16일생, 1991년 서울대 재료공학 박사, 1978년~2001년 한국과학기술연구원 책임연구원, 2001년~현재 한국광기술원 기술총괄부장